

II-232 壁乱流の可視化と流速計測の同時併用

徳山高専 正員 佐賀孝徳・大成博文 山口大学 正員 斎藤 隆

1. はじめに 流れの可視化と流速計測との同時併用を適用することにより、壁近傍の乱流構造の組織性に関する検討を試みた。従来、組織構造の解明には、可視化法や条件付抽出法などの流速計測が採用されているが、両者の対応を詳細に検討した例は、意外と少ない。本研究では、可視化法として螢光染料法、流速計測には、レーザー流速計を採用した。そして、流れ方向の流速波形と可視化の形象との対応について、若干の考察を試みた。

2. 実験装置および方法 実験装置およびトレーサー注入法については文献2)を参照願うことにし、省略する。螢光染料法の特徴は、AMID法と同様に壁近くの立体的可視化を、可能とする点にあるが、トレーサー自体の透過性が比較的良好のために、レーザー流速計との同時併用により優れている。レーザー流速計(DESA 55X 24-Z)の最大の特徴は、非接触計測が可能である点であり、周波数シフターを用いれば、可視化に採用される比較的低流速の流れ場の計測も可能となる。フォトマルは、前方散乱方式で用い、レーザー光線の出力を2Wまで上げて信号のドロップアウトをできるだけ防いでいる。

3. 実験結果 Fig.1に平均流速分布を示す。最近の Klebanoff³⁾の実験によれば、低Re数下の流れにおいても、対数則が成立つことが明らかにされており、本結果もそれに従っている。

流速計測実には、 $y_t = 20$ と30を選んだ。鱗形状の発生領域が平均的には $y_t = 10$ (粘性底层外端) 程度であるから、大部分のトレーサーは、ビームの下を通過するが、liftingした streak がビームをクロスしている場合も存在している。トレーサーによる流速波形への影響は、同一条件下で、平均流速分布、乱れ強度分布を調べる事により検討しているが、トレーサーの有無による顕著な差異は現われなかつた。

(i) 鱗形状との対応 Fig.2は、鱗形状が発生発達しながら計測実を通過した場合である。(b)にクロス束付近のスケッチを示す。No.27²⁾は鱗形状の発生が見られ、No.28, 29²⁾は、発達しながら計測実を通過し、No.30²⁾は鱗形状の頂実が検出されている。この鱗形状の通過に伴って、ゆっくり成長して急に増加するといふいわゆる bursting 波形が現われている。

(ii) Low Speed Streak (L.S.S.)との対応 他の他に bursting 波形との対応が得られたものには、L.S.S.があり、その一部を Fig.3 に示す。No.29, 30²⁾は、L.S.S.上に計測実がある場合であり、No.31²⁾は、L.S.S.が通過した場合である。

以上を考慮しながらすべての波形について可視化との対応を調べてみると、確実に現められた bursting 波形は22個あった。(写真総数400枚) その中で鱗形状との対応が明確になった波形は4個、L.S.S.との対応が明確にならぬものは8個、L.S.S.の抜け出しと同時に鱗形状が現められたものは8個である。他の2波形は明確な対応が付かなかつた。

次に、streak構造と周波数成分について検討するが、streakの通過によって、高周波成分の検出が、ほとんどの場合においてなされる。これには、トレーサーがクロス束を通過することによるノイズの発生という懸念が生じてくるが、①トレーサーを注入しない場合も同様の値を得ていること、②トレーサーの注入をせず鮮実が生じていないケースでも、高周波成分は変わることなど考慮すると、streakが高周波成分を保有している可能性も有している。

以上まとめると、鱗形状およびL.S.S.と bursting 波形との対応が明らかとなつた。鱗形状-L.S.S.の構造的解明が今後重要ななりうる。

参考文献 1) たとえば Falcao; AIAA-80-1356, 1980 2) 大成他 第27回
水理講演会論文集 1983. 3) Purcell, Klebanoff; Phys. Fluids 1981.

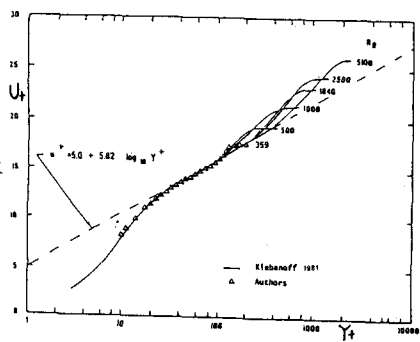


Fig.1. 平均流速分布

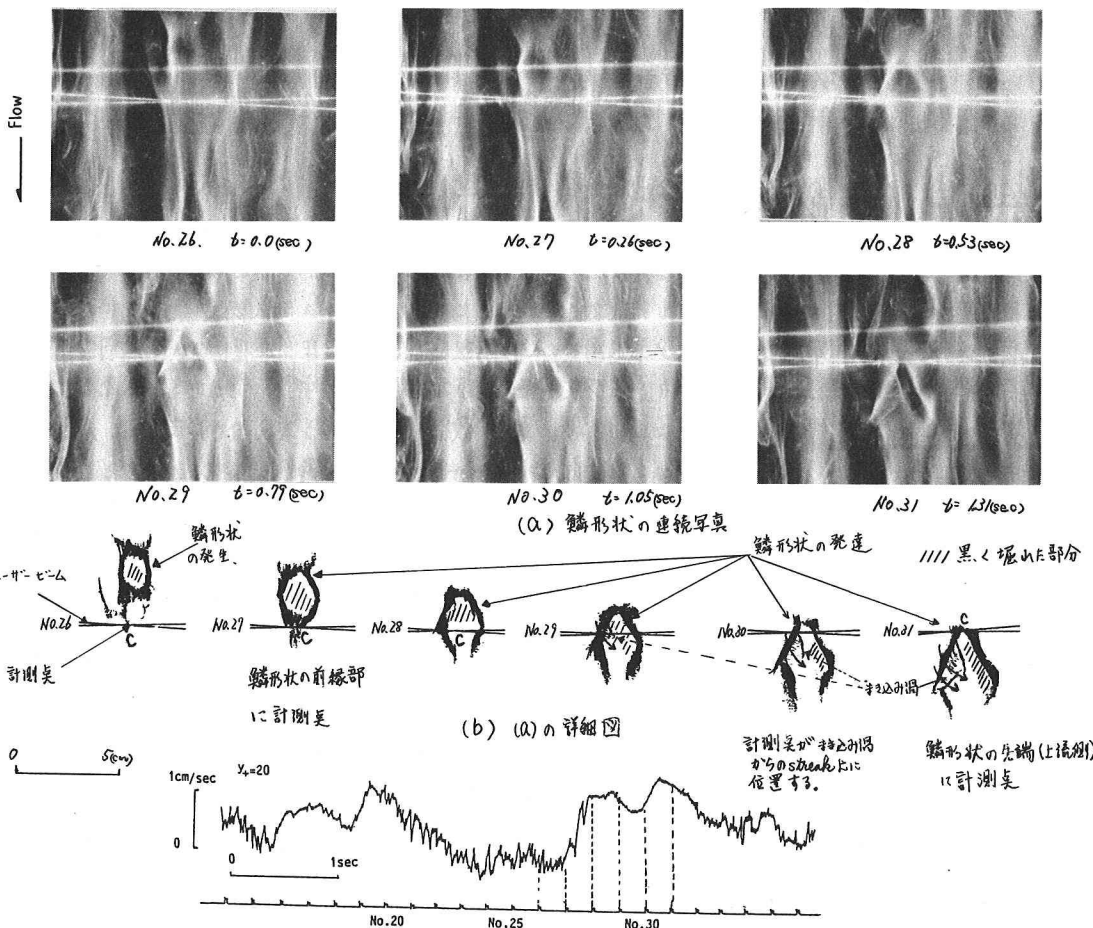


Fig. 2 (a)(b)(c) 鱗形状と bursting 波形との対応

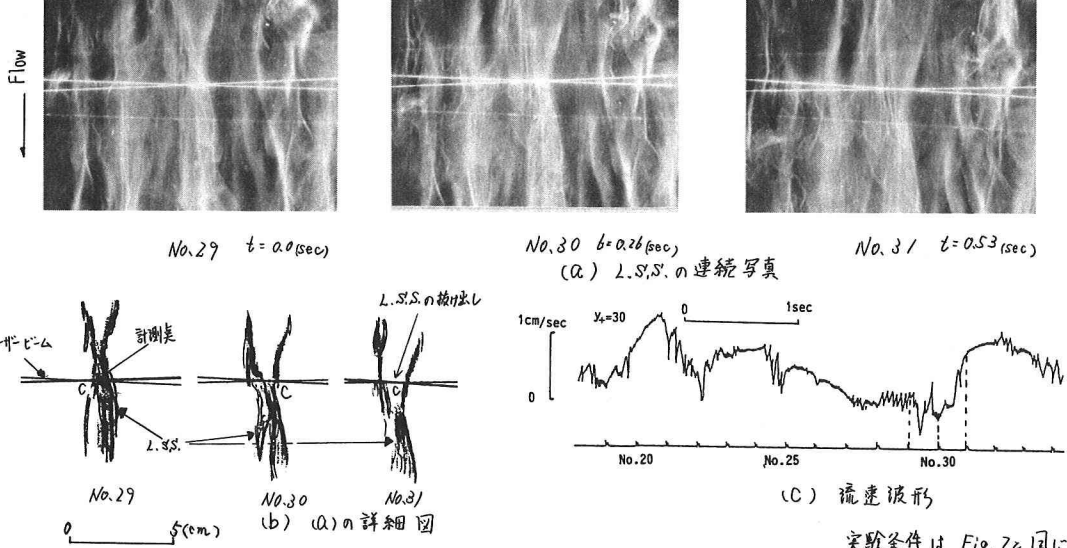


Fig. 3 (a)(b)(c) L.S.S. と bursting 波形との対応

実験条件は Fig. 2 同じ